

Sprawozdanie z przedmiotu: METODY ELEMENTÓW SKOŃCZONYCH

Marek Greczek, gr. projektowa 2

Wstęp teoretyczny.

Rozpatrywany problem to przewodzenie ciepła w elemencie dwuwymiarowym w procesie nieustalonym. Proces ten oznacza obliczenie temperatury w węzłach elementu w kilku krokach czasowych. Zjawiska cieplne zachodzące w stanie nieustalonym opisuje równanie Fouriera w postaci:

$$\frac{\partial}{\partial x}(k_x(t)\frac{dt}{dx}) + \frac{\partial}{\partial y}(k_y(t)\frac{dt}{dy}) + \frac{\partial}{\partial z}(k_z(t)\frac{dt}{dz}) + (Q - c\rho\frac{\partial t}{\partial \tau}) = 0$$

Rozwiązanie tego równania sprowadza się do zadania polegającego na poszukiwaniu minimum funkcjonału:

$$J = \int_V \frac{1}{2} (k_x(t)(\frac{dt}{dx})^2 + k_y(t)(\frac{dt}{dy})^2 + k_z(t)(\frac{dt}{dz})^2 - 2(Q - c\rho\frac{\partial t}{\partial \tau})t) dV$$

Przy założeniu, że $k_x(t) = k_y(t) = k_z(t) = k(t)$ dla materiałów izotropowych funkcjonał ma postać:

$$J = \int_V [\frac{k(t)}{2} ((\frac{dt}{dx})^2 + (\frac{dt}{dy})^2 + (\frac{dt}{dz})^2 - (Q - c\rho\frac{\partial t}{\partial \tau})t)] dV$$

Funkcja musi spełniać określone warunki brzegowe na powierzchni rozpatrywanego obszaru. Ponieważ, bezpośrednie dodanie warunków brzegowych nie jest możliwe narzuca się je poprzez dodanie do funkcjonału dwóch całek:

$$\int_S \frac{\alpha}{2} (t - t_\infty)^2 dS + \int_S q t dS$$

Rozwiązanie problemu polega na podzieleniu rozpatrywanego obszaru na elementy i przedstawieniu temperatury wewnątrz elementu, jako funkcji wartości węzłowych zgodnie z zależnością:

$$t = \sum_{i=1}^n N_i t_i = \{N\}^T \{t\}$$

Po wstawieniu powyższej zależności do funkcjonału otrzymujemy:

$$J = \int_V \left[\frac{k}{2} \left(\left(\frac{\partial \{N\}}{\partial x} \right)^T \{t\} \right)^2 + \left(\left(\frac{\partial \{N\}}{\partial y} \right)^T \{t\} \right)^2 + \left(\left(\frac{\partial \{N\}}{\partial z} \right)^T \{t\} \right)^2 \right] - (Q - c\rho \frac{\partial t}{\partial \tau}) \{N\}^T \{t\} dV + \int_S \frac{\alpha}{2} (\{N\}^T \{t\} - t_\infty)^2 dS + \int_S q \{N\}^T \{t\} dS$$

Minimalizacja funkcjonału sprowadza się do obliczenia pochodnych cząstkowych tego funkcjonału względem wartości węzłowych temperatury $\{t\}$, co prowadzi do następującego układu równań.

$$\frac{\partial J}{\partial \{t\}} = \int_V \left[k \left(\left(\frac{\partial \{N\}}{\partial x} \right)^T \{t\} \right) \left(\frac{\partial \{N\}}{\partial x} \right) + \left(\left(\frac{\partial \{N\}}{\partial y} \right)^T \{t\} \right) \left(\frac{\partial \{N\}}{\partial y} \right) + \left(\left(\frac{\partial \{N\}}{\partial z} \right)^T \{t\} \right) \left(\frac{\partial \{N\}}{\partial z} \right) \right] \{t\} - (Q - c\rho \frac{\partial t}{\partial \tau}) \{N\} dV + \int_S \alpha (\{N\}^T \{t\} - t_\infty) \{N\} dS$$

Układ równań zapisujemy w postaci macierzowej:

$$[H]\{t\} + [C]\frac{\partial}{\partial \tau}\{t\} + \{P\} = 0$$

Gdzie

$$[H] = \int_V k(t) \left(\left(\frac{\partial \{N\}}{\partial x} \right)^T \left(\frac{\partial \{N\}}{\partial x} \right) + \left(\frac{\partial \{N\}}{\partial y} \right)^T \left(\frac{\partial \{N\}}{\partial y} \right) + \left(\frac{\partial \{N\}}{\partial z} \right)^T \left(\frac{\partial \{N\}}{\partial z} \right) \right) dV + \int_S \alpha \{N\} \{N\}^T dS$$

$$[C] = \int_V c\rho \{N\} \{N\}^T dV$$

$$\{P\} = - \int_S \alpha \{N\} t_\infty - \int_V Q \{N\} dV + \int_S q \{N\} dS$$

Rozwiązanie powyższego problemu uzyskujemy rozwiązując układ równań metodą Gaussa.

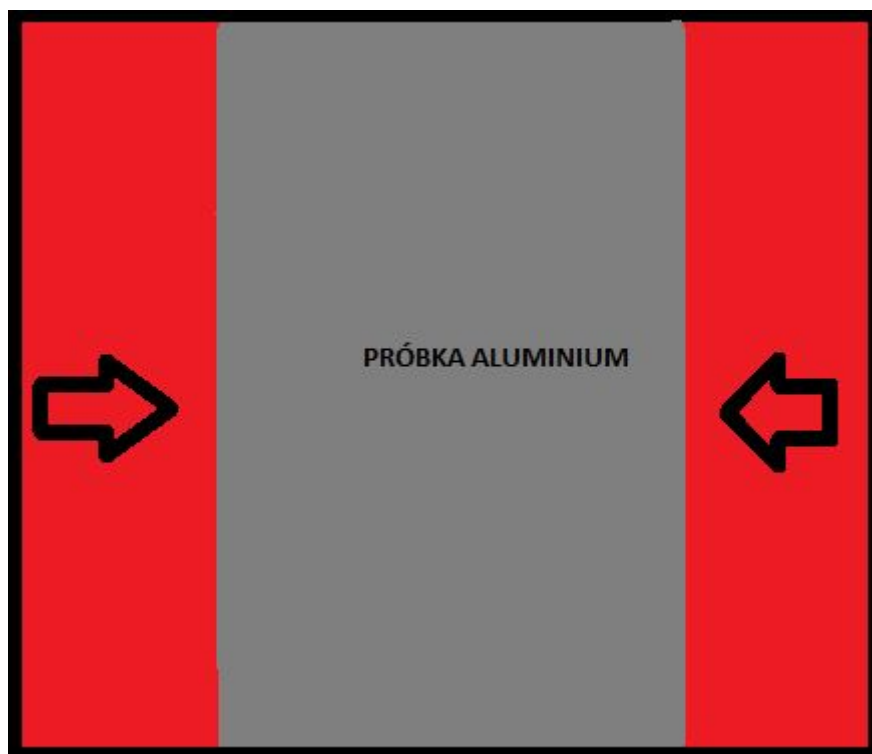
Wybrany problem.

Problem który wybrałem polega na zbadaniu jak szybko wybrany materiał nagrzeje się do temperatury topnienia. Dla porównania postanowiłem zasymulować nagrzewanie w dwóch przypadkach:

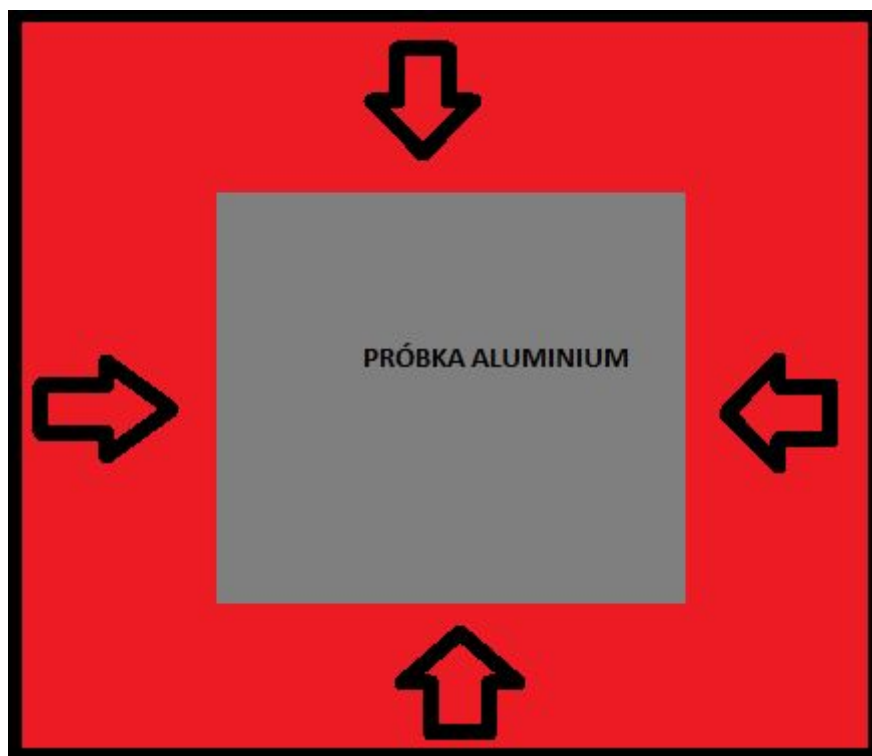
- Nagrzewanie o stałej temperaturze z dwóch przeciwległych stron
- Nagrzewanie o stałej temperaturze z 4 stron

Wybrany przeze mnie materiał to aluminium.

Graficzna prezentacja omawianego problemu:



Ilustracja nagrzewania próbki z 2 kierunków



Ilustracja nagrzewania próbki z 4 kierunków

Dane wejściowe do programu.

SZEROKOŚĆ ELEMENTU	0,1[m]
DŁUGOŚĆ ELEMENTU	0,1[m]
IŁOŚĆ WĘZŁÓW WSZERZ	10
IŁOŚĆ WĘZŁÓW WZDŁUŻ	10
POCZĄTKOWA TEMPERATURA W WĘZŁACH	20[°C]
TEMPERATURA NAGRZEWANIA	1100[°C]
WSP. PRZEWODZENIA CIEPŁA	200[$\frac{W}{m*^{\circ}C}$]
WSP. PRZENIKANIA CIEPŁA	25[$\frac{W}{m^2*^{\circ}C}$]
CIEPŁO WŁAŚCIWE MATERIAŁU	900 [$\frac{J}{kg*^{\circ}C}$]
GĘSTOŚĆ	2720[$\frac{kg}{m^3}$]

Czas stabilnego rozwiązania obliczyłem ze wzoru:

$$Asr = \frac{k}{C_w * \rho}$$

$$\Delta\tau = \frac{(\frac{B}{nB})^2}{0.5 * Asr}$$

Gdzie:

B – szerokość elementu

nB – ilość węzłów po szerokości

k – przewodność cieplna materiału

C_w – ciepło właściwe materiału

ρ - gęstość materiału

Wyniki symulacji.

```
C:\Users\Marko\source\repos\Project2\Debug\Project2.exe

4315.82      651.337      652.718
4318.27      651.561      652.941
4320.72      651.784      653.164
4323.17      652.008      653.387
4325.62      652.231      653.61
4328.06      652.454      653.832
4330.51      652.678      654.055
4332.96      652.901      654.277
4335.41      653.124      654.499
4337.86      653.347      654.722
4340.3       653.569      654.944
4342.75      653.792      655.166
4345.2       654.015      655.387
4347.65      654.237      655.609
4350.1       654.459      655.831
4352.54      654.681      656.052
4354.99      654.904      656.274
4357.44      655.126      656.495
4359.89      655.347      656.716
4362.34      655.569      656.937
4364.78      655.791      657.158
4367.23      656.012      657.379
4369.68      656.234      657.6
4372.13      656.455      657.821
4374.58      656.676      658.041
4377.02      656.897      658.261
4379.47      657.118      658.482
4381.92      657.339      658.702
4384.37      657.56       658.922
4386.82      657.781      659.142
4389.26      658.001      659.362
4391.71      658.222      659.582
4394.16      658.442      659.801
4396.61      658.662      660.021

Wartosci temperatur w wezlach po 4396 sekundach:
.798 660.021 659.478 659.07 658.798 658.662 658.662 658
.798 660.021 659.478 659.07 658.798 658.662 658.662 658
.798 660.021 659.478 659.07 658.798 658.662 658.662 658
.798 660.021 659.478 659.07 658.798 658.662 658.662 658
.798 660.021 659.478 659.07 658.798 658.662 658.662 658
.798 660.021 659.478 659.07 658.798 658.662 658.662 658
.798 660.021 659.478 659.07 658.798 658.662 658.662 658
.798 660.021 659.478 659.07 658.798 658.662 658.662 658
.798 660.021 659.478 659.07 658.798 658.662 658.662 658
.798 660.021 659.478 659.07 658.798 658.662 658.662 658
.798 660.021 659.478 659.07 658.798 658.662 658.662 658
.798 660.021 659.478 659.07 658.798 658.662 658.662 658
.798 660.021 659.478 659.07 658.798 658.662 658.662 658
.798 660.021 659.478 659.07 658.798 658.662 658.662 658
.798 660.021 659.478 659.07 658.798 658.662 658.662 658
Aby kontynuować, naciśnij dowolny klawisz . . . _
```

Końcowy rozkład temperatur po 4397[s]
(symulacja nagrzewania z 2 przeciwnych kierunków).

```
C:\Users\Marko\source\repos\Project2\Debug\Project2.exe

2115.07      642.868      645.678
2117.52      643.323      646.131
2119.97      643.779      646.583
2122.42      644.233      647.035
2124.86      644.688      647.487
2127.31      645.142      647.938
2129.76      645.595      648.389
2132.21      646.048      648.839
2134.66      646.501      649.289
2137.1       646.953      649.738
2139.55      647.405      650.187
2142         647.856      650.635
2144.45      648.307      651.083
2146.9       648.757      651.531
2149.34      649.207      651.978
2151.79      649.656      652.425
2154.24      650.105      652.871
2156.69      650.554      653.317
2159.14      651.002      653.762
2161.58      651.449      654.207
2164.03      651.897      654.651
2166.48      652.343      655.095
2168.93      652.79       655.539
2171.38      653.235      655.982
2173.82      653.681      656.425
2176.27      654.126      656.867
2178.72      654.57       657.309
2181.17      655.014      657.75
2183.62      655.458      658.191
2186.06      655.901      658.631
2188.51      656.344      659.071
2190.96      656.786      659.511
2193.41      657.228      659.95
2195.86      657.669      660.389

Wartosci temperatur w wezlach po 2195 sekundach:
.167 660.389 659.846 659.439 659.167 659.031 659.031 659
.623 659.846 659.302 658.895 658.623 658.487 658.487 658
.214 659.439 658.895 658.486 658.214 658.078 658.078 658
.942 659.167 658.623 658.214 657.942 657.806 657.806 657
.806 659.031 658.487 658.078 657.806 657.669 657.669 657
.806 659.031 658.487 658.078 657.806 657.669 657.669 657
.942 659.167 658.623 658.214 657.942 657.806 657.806 657
.214 659.439 658.895 658.486 658.214 658.078 658.078 658
.623 659.846 659.302 658.895 658.623 658.487 658.487 658
.167 660.389 659.846 659.439 659.167 659.031 659.031 659
Aby kontynuować, naciśnij dowolny klawisz . . .
```

Końcowy rozkład temperatur po 2196[s] (symulacja nagrzewania z 4 kierunków).

Wnioski.

Po przeprowadzeniu symulacji mogłem bardzo szybko zauważyć różnice między dwoma powyższymi wynikami symulacji. materiał nagrzewany z dwóch stron uzyskał oczekiwaną temperaturę po ok. 73 min, natomiast nagrzewanie z czterech stron zakończyło się po ok. 37 min. Różnica między przeprowadzonymi symulacjami była znacząca, wyniosła 36 min. Ponadto w wynikach zauważalne są różnice temperatur w węzłach. Temperatury w węzłach położonych na zewnątrz są większe niż w tych wewnątrz materiału. Można to uzasadnić tym, że transfer ciepła przebiegał z zewnątrz do środka materiału.